

Η ΣΤΟΑ ΤΗΣ ΑΡΤΕΜΙΔΟΣ ΣΤΗ ΒΡΑΥΡΩΝΑ ΜΟΡΦΕΣ ΔΙΑΒΡΩΣΗΣ ΚΑΙ ΠΡΟΤΑΣΕΙΣ ΠΡΟΣΤΑΣΙΑΣ

Βασίλειος Λαμπρόπουλος

Δρ Χημικός-Μηχανικός Ε.Μ.Π., Καθηγητής Εφαρμογών, ΤΕΙ Αθήνας

Μαρία Κάτου

Συντηρητρία Αρχαιοτήτων και Έργων Τέχνης, ΤΕΙ Αθήνας

Αλέξανδρος Σπουντάκης

Συντηρητής Αρχαιοτήτων και Έργων Τέχνης, ΤΕΙ Αθήνας

Ο αρχαιολογικός χώρος της Βραυρώνος, που βρίσκεται στην ανατολική Αττική, εκτείνεται στους βόρειους πρόποδες χαμηλού πετρώδους λόφου, που ονομάζεται "Κομμένο Λιθόρι". Στη βόρεια πλευρά περνά ο ποταμός Ερασίνος, ο οποίος εκβάλει μερικά μέτρα ανατολικότερα, στον μικρό, κλειστό όρμο της Βραυρώνος, στον νότιο Ευβοϊκό. Ο όρμος αυτός είναι ρηχός και τελματώδης σήμερα, στην αρχαιότητα όμως ήταν ένα αξιόλογο υπήνεμο λιμάνι. Ο εσώτατος μυχός του κόλπου, που δεν είναι ορατός από το iερό, απέχει μόνο 700 μ. από αυτό¹.

Ιστορικά στοιχεία της περιοχής²

Hη περιοχή πρωτοκατοκήθηκε από Πελασγούς στο τέλος της Νεολιθικής εποχής (3500 π.Χ.). Κατά την Μεσοελλαδική εποχή (2000-1600 π.Χ.) δημιουργήθηκε η ακρόπολη

της Βραυρώνος. Μετά την Μυκηναϊκή εποχή (1600-1100 π.Χ.) ο συνοικισμός εγκαταλείφθηκε μέχρι τον 9ο π.Χ. αιώνα³.

Από τη Μικρά Ασία φαίνεται ότι έγινε η μεταφορά της λατρείας της Αρτέμιδος, κατά τα γ' χιλιετρά Πρωτογεωμετρικά χρόνια, σταν άρχισε

1. Η δυτική όψη της Στοάς της Βραυρώνος.



να επαναχρησιμοποιείται ο χώρος.

Η Βραυρών αποτέλεσε μία από τις δώδεκα προϊστορικές πόλεις στις οποίες είχε ενύσσει την Αττική ο Κέκρωψ, σύμφωνα με τον Παυσανία⁴. Ενώ ο Θουκυδίδης αναφέρει ότι ήταν μία από τις δώδεκα πόλεις του συναντικούμου θρησά, οι οποίες συναντούσεαν την Αθήνα⁵. Τον βο π.Χ. αιώνα ιδρύθηκε από τον Πεισιστράτο το ιερό της Αρτεμίδος. Μετά τη μεταρρύθμιση του Κλεισθένους, η Βραυρών και οι γύρω περιοχές αποτέλεσαν το Δήμο των Φιλαδών. Ο χώρος βρέθηκε στην κορύφωση της ακμής του το δεύτερο μισό του 5ου π.Χ. αιώνα και σχεδόν καθ' όλη τη διάρκεια του 4ου. Στο τέλος του 4ου αι. π.Χ. το ιερό καταστράφηκε λόγω καθηλητρών και εισροής των ιδιάων του ποταμού στο χώρο.

Τον βο μ.Χ. αι. χτίστηκε παλαιοχριστιανική βασιλική για τον εξαγνισμό του χώρου.

Ανασκαφές στην περιοχή εγίναν σε μικρή κλίμακα κατά τα τέλη του 19ου αι. και πιο συστηματικές και εκτεταμένες από τον Ι. Παπαδημητρίου κατά τις περιόδους 1948-1950 και 1955-1962. Οι ανασκαφές αυτές, όμως, διακόπηκαν με το δάνατο του, και δεν έχουν ολοκληρωθεί.

Η Στοά της Βραυρώνος (εικ. 1), που σύμφωνα με τα μορφολογικά της χαρακτηριστικά και επιγραφές χρονολογείται στα τέλη του 5ου π.Χ. αι.⁶, είναι στωικό οικοδόμημα σχήματος Π.Γ. Η βάρειος κινούστοιχος έχει 11 δωρικούς κίονες και μήκος 29,19 μ., ενώ η δυτική και η ανατολική από έναν, των οποίων η ανοικοδόμηση δεν είχε ολοκληρωθεί ποτέ.

Η Στοά (εικ. 2) περιλαμβάνει:

- Έξι τετράγωνα όμια δωμάτια στο βόρειο σκέλος και τρία στο δυτικό με είσοδο στη Στοά, εντός των οποίων υπήρχαν έντεκα ξύλινες κλίνες και επτά μαρμάρινες τράπεζες (1).
- Εναν στενό διάδρομο που χωρίζει τα δωμάτια συμμετρικά σε δύο ομάδες (2).
- Έναν έδρο μικρότερο δωμάτιο στο δυτικότερο σημείο του βόρειου σκελούς της Στοάς (3).
- Ευρύ υπαίθριο διάδρομο, παράλληλο προς το βόρειο σκέλος της στοάς (4), με πρόπτυλα στα άκρα του (5).
- Βόρεια στοά με 12 κίονες, πιθανώς οκταγωνικούς (6).

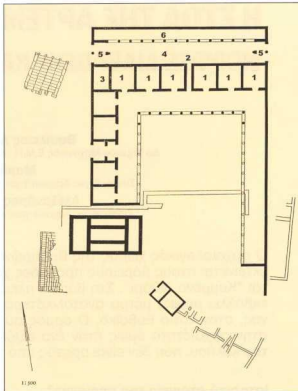
Μέσα στη Στοά υπήρχαν αναθηματικά αγάλματα "άρκτων" (νεαρά κορέσια που υπηρέτουσαν τη θεά) και αγοριών, ανάγλυφα, καθώς και επιγραφές, από τα οποία σήμερα σώζονται *in situ* μόνο τα βάθρα.

Υλικά δομής και τεχνολογία κατασκευής⁸

Για την κατασκευή της Στοάς χρησιμοποιήθηκαν κυρίως τρία υλικά: ψαμμίτης, μάρμαρο και αριστερόλιθος.

Εντόπιος ψαμμίτης, χρώματος ανοικτού καστανούρυθρου, χονδροκοκκίνου, σκληρότητας περίπου 2 Mohs, χρησιμοποιήθηκε στη θεμελίωση, τους κίονες, το επιπτύλιο, τα τρίγλυφα, το γείσο στα δωμάτια και την παραστάδα.

Μάρμαρο, λευκό πεντελικό, λεπτόκοκκο, με πορώδες 0,35-0,7% και σκληρότητα 3 Mohs⁹, χρησιμοποιήθηκε στα σημεία όπου απαιτούνταν



μεγαλύτερη αντοχή, όπως στα στυλοβάτη, αλλά και στα αρχιτεκτονικά μέλη όπου η κατεργασία ήταν λεπτότερη, όπως στα κιονόκρανα και τις μετόπες.

Ο αριστερόλιθος είναι γκρίζου χρώματος και σκληρότητας περίπου 5,5 Mohs.

Οι συνδεσμοί και οι γόμφοι ήταν κατασκευασμένοι από μολυβδοχορημένο σίδηρο. Για τα εξαρτήματα των θυμών και τα στριγίματα των κινητών χρησιμοποιήθηκαν ορείχαλκος.

Λεπτό επιχρύσιμα (stucco), που δεν σώζεται σήμερα, επικαλύπτε τους ψαμμιτικούς δομικούς λίθους.

Η τεχνολογία κατασκευής της Στοάς είναι όμιος με την γενικών εφαρμογέμενη τεχνολογία κατά την κλασική περίοδο στην Ελλάδα.

Αναστήλωση της Στοάς της Βραυρώνος¹⁰

Οι αναστηλωτικές εργασίες έγιναν από τον αρχιτέκτονα της Υπηρεσίας Αναστηλώσεως Χρ. Μπούρα, με επιτασία του για υγιείτη του Εθνικού Αρχαιολογικού Μουσείου Στ. Τριάντη, από την 1η Μαΐου 1961 μέχρι τα τέλη του Σεπτεμβρίου του 1962.

Κατά τη διάρκεια των εργασιών κατεβλήθη προσπάθεια να τηρηθούν οι εξής αρχές: ελαχιστοποίηση προσθηκών και επεμβάσεων στα αρχαία μέλη, αντιστρεψμότητα, δυνατότητα διάκρισης των νέων προσθιθέμενων τεμαχίων, σεβασμός της αισθητικής του μημείου, εξασφάλιση της στατικής αυτάρκειας του κτηρίου, ισορροπία της σύνθεσης της μορφής του ερειπίου, συνέσεια με τα πορίσματα της μορφολογικής μελέτης.

Κατά την αναστήλωση έγιναν οι ακόλουθες εργασίες:

Η επιφάνεια έδρασης του μνημείου τριπλασιάστηκε με την κατασκευή βάσης από άσπρο σκυρόδεμα. Αναστηλώθηκαν 37 σφραγίδων (οι 31 αρχαίοι). Τα έξι μαρμάρινα κιονόκρανα που διατηρούνταν τοποθετήθηκαν στις αρχικές τους θέσεις, από τα είκοσι θραύσματα που διασώθηκαν συναρμαλογήθηκε ένα νέο και συμπληρώθηκαν δύο νέα. Η συνέσει των θραυσμάτων έγινε με ανοξείδωτους ορειχαλκίνους συνδεσμούς. Προστέθηκε επίσης ένα νέο κιονόκρανο. Εκτός του μοναδικού διασωθέντος επιστυλίου κατασκευάσθηκαν και χρησιμοποιήθηκαν έξι νέα επιστύλια, ενισχυμένα με ράβδους ανοξείδωτου χάλυβα. Έλεος, τοποθετήθηκαν στις αρχικές τους θέσεις τα αναθηματικά βάθρα.

Οι συμπληρώσεις στο μνημείο έγιναν με χρήση του ίδιου εντόπιου ψαμμίτη και λευκού πεντελικού μαρμάρου.

Μεταξύ των αρχαίων και των νέων τεμαχίων και όπου υπήρχε κενό τοποθετήθηκε ταυμετοκονίαμα μικρής περιεκτικότητας σε ταιωνέτο.

Λόγω της εσούσυσμένης αναστήλωσης δεν τηρήθηκε η αρχή ότι η αναστήλωση έπεντα της ανασκαφής και της έκδοσης της αρχαιολογικής μελέτης του μνημείου. Η πραγματοποίηση όμως των εργασιών, με βάση την αρχή της αντιστρεψιμότητας, δινει τη δυνατότητα επανόρθωσης πιθανών σφαλμάτων¹¹.

Περιβαλλοντικές συνθήκες που επικρατούν στην ευρύτερη περιοχή της Βραυρώνος

Για την αναγνώριση των μηχανισμών φθοράς των υλικών του μνημείου κρίναμε απαραίτητη τη μελέτη των περιβαλλοντικών συνθηκών της περιοχής.

Από τις μετρήσεις της Ε.Μ.Υ. (τυμά στατιστικής κλιματολογίας), που αναφέρονται στο σταθμό των Σπάτων κατά τη έπος 1974-1997, προέκυψε ότι:

Οι τιμές της **θερμοκρασίας** κυμαίνονται μεταξύ 10-30°C στη διάρκεια του έτους. Μεμονωμένες τιμές μεγαλύτερες των 30°C και μικρότερες των 0°C έχουν καταγραφεί.

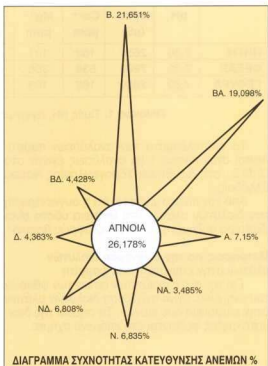
Η ένταση των **ανέμων** σπανιάς παίρνει τιμές μεγαλύτερες των 2 beaufort, ενώ ως επικρατέστερες εντάσεις των ανέμων είναι 0.2 και 3 beaufort για το σταθμό των Σπάτων (διάγραμμα 2).

Το αναλυτικό της περιοχής της Βραυρώνος και η γενιτισμό με θάλασσα έχει ως αποτέλεσμα τη δημιουργία τοπικών συστημάτων ροής¹⁴. Θεωρούμε εποικείων πιθανή την αύξηση της συχνότητας και της έντασης των ανέμων, ειδικά αυτών με B-ΒΑ. κατεύθυνση (βλ. Διάγραμμα Συχνότητας Κατεύθυνσης Ανέμων %).

Οι **βροχοπτώσεις** κυμαίνονται σε ποσοστά ανάλογα με αυτά της υπόλοιπης Αττικής.

Οι τιμές της **σχετικής υγρασίας** είναι μεγαλύτερες από τις αναφερόμενες στο ραβδόγραμμα 1, που αναφέρονται στο σταθμό των Σπάτων, καθώς το μνημείο βρίσκεται πλησιεύστερα στη θάλασσα απ' ότι ο εν λόγω σταθμός.

Κατά τους χειμερινούς μήνες ο αρχαιολογικός χώρος πλημμυρίζει συχνά, λόγω της διαμόρφωσης του εδάφους που ευνοεί την κατακράτηση των ομβρίων υδάτων αφενός, και αφε-

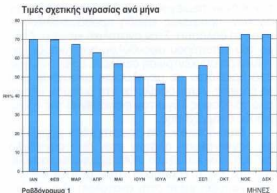


τέρου λόγω των πετρωμάτων του υπεδάφους που επιτρέπουν την εισχώρηση θαλάσσιου υδάτος στο διάφανος και στα νερά του Ερασινού¹².

Σύμφωνα με τη βιβλιογραφία¹³, το **έδαφος θεμελίωσης** της ευρύτερης περιοχής έχει μεγάλο πάχος 10 μ. και συντίθεται από λεπτομερή μελλή άμμου και αργιλών, και σε μικρότερα ποσοστά από λεπτούς μανδύες, από αποσάθρωση κροκαλών. Το στρώμα αυτού στην περιοχή του μνημείου εμφανίζει πιθανώς μεγαλύτερα πάχος και περιέχει μεγαλύτερες ποσότητες αργιλών, λόγω της συσσώρευσης εκεί της ύλους του παταγού Ερασινού.

Υδρογεωλογική μελέτη

Για το υπολογισμό της συγκέντρωσης των αλάτων στα υπόγεια υδάτα, ένινε ανάλυση σε τρία δείγματα υδάτος: α, από την ειρά πηγή που βρίσκεται σε απόσταση περίπου 30 μ. από τη δυτική γωνία της Στοάς β, από τα λιμνάσοντα ύδατα κάτω από τη γέφυρα σε απόσταση 10 περίπου μέτρων από τη δυτική γωνία της Στοάς γ, από φέραρ που βρίσκεται σε απόσταση 40 περίπου μέτρων νοτιοδυτικά της Στοάς.



	pH	Αγ/τα (μS)	Ca ²⁺ ppm	Mg ²⁺ ppm	Na ⁺ ppm	K ⁺ ppm	HCO ₃ ⁻ ppm	Cl ⁻ ppm	SO ₄ ²⁻ ppm	NO ₃ ⁻ ppm
ΠΗΓΗ	7,30	2650	183	101	244	31,3	420	581	208	80,6
ΦΡΕΑΡ	7,50	7800	539	358	897	46,9	456	2212	1254	37,2
ΓΕΦΥΡΑ	7,60	2850	186	109	303	31,3	415	681	280	27,9

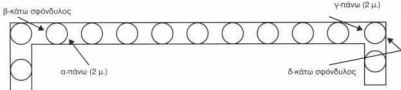
Πίνακας 1: Τιμές pH, αγωγμάτητας και συγκέντρωσης ιόντων

Τα αποτελέσματα των αναλύσεων παρατίθενται στον πίνακα 1 (οι αναλύσεις έγιναν στο Ι.Γ.Μ.Ε., στη Διεύθυνση Υδρογεωλογίας Νοτίου Ελλάδος).

Από τον πίνακα φαίνεται ότι η συγκέντρωση των διαλυτών αλάτων στα υπόγεια ύδατα είναι ιδιαίτερα αυξημένη και το pH ελαφρώς βασικό.

Μετρήσεις για την ανίχνευση διαλυτών αλάτων στην επιφάνεια του ψαμμίτη

Για την αναγνώριση των αιτίων των φθορών του μνημείου, έγινε ανίχνευση διαλυτών αλάτων στην επιφάνεια δύο κιονών. Τα σημεία της δειγματοληψίας φαίνονται στο επόμενο σχήμα:



Κάτωφθη της κιονοστοιχίας με τις βέσεις στις οποίες έγινε ανίχνευση διαλυτών αλάτων.

Στα τέσσερα δείγματα έγιναν αναλύσεις κατά τις οποίες μετρήθηκε η αγωγμάτητα του διαλύματος, το pH και η περιεκτικότητα του σε ίδντα Cl⁻ και SO₄²⁻. Τα αποτελέσματα δίνονται στον πίνακα 2:

Πίνακας 2: Τιμές αγωγμάτητας, pH και συγκέντρωσης Cl⁻, SO₄²⁻

Δείγμα	Αγωγ/τα (μS)	pH	Cl ⁻ (ppm)	SO ₄ ²⁻ (ppm)
α	415	6,5	17,75	2,06
β	362	6,3	15,45	1,78
γ	390	6,5	16,71	1,87
δ	440	7,2	19,00	2,15

Τα δείγματα από τις ανατολικές πλευρές των κιονών περιέχουν μεγαλύτερες ποσότητες αλάτων, προφανώς επειδή προσανατολίζονται προς τη θάλασσα. Στον ανατολικό κίονα το δείγμα του κατωτέρου αφονδύλου παρουσιάζει μεγαλύτερη συγκέντρωση σε αλάτα από το δείγμα που βρισκόταν σε μεγαλύτερη απόσταση από το έδαφος. Αυτό οφείλεται στη διάχυση ιόντων από το έδαφος λόγω του φαινομένου της τριχοειδούς αναρρίχησης.

Στον δυτικό κίονα παρατηρείται μεγαλύτερη συγκέντρωση αλάτων στον άνω σφόνδυλο απ' ό,τι στον κατώτατο. Αυτό προφανώς οφείλεται στο ότι η κομπρέσα στον άνω σφόνδυλο ήταν τοποθετημένη στην ανατολική πλευρά, δη-

λαδή προς τη θάλασσα. Ακόμη, η συγκέντρωση των αλάτων στο σημείο α επηρεάζεται από την υπάρχηση τουμεντοκανάματος σε κοντινή απόσταση, καθώς το τοιμέντο αποτελεί σημαντική πηγή διαλυτών αλάτων.

Η διάβρωση του δομικού υλικού της Στοάς

Η βασικότερη φθορά που παρατηρείται μακροσκοπικά στο υλικό του μνημείου είναι οι κοιλότητες στην επιφάνεια του ψαμμιτικού υλικού, οι οποίες φανερώνουν διάβρωση με κυψέλωση (εικ. 3). Οι κοιλότητες ποικιλούν σε μεγέθος και καλύπτουν όλη την επιφάνεια του ψαμμιτικού υλικού. Αυτή η μορφή διάβρωσης οφείλεται στην παρουσία ευδιάλυτων αλάτων στο μνημείο, σε συνδυασμό με την υγρασία και τους ανέμους που πνέουν στην περιοχή.

Πηγές αλάτων για τη Στοά αποτελούν: Η υπόγεια ύδατα, όπως προκύπτει από τις σχετικές αναλύσεις μέσων.

Β. Η θάλασσα, η οποία βρίσκεται 700 μ. ανατολικά του αρχαιολογικού χώρου⁴.

γ. Τα τουμεντοκανάματα που είχαν χρησιμοποιηθεί στην αναστήλωση του μνημείου.

Η μεταφορά των αλάτων από τα υπόγεια ύδατα γίνεται με το φαινόμενο της τριχοειδούς αναρρίχησης (εικ. 4) και από τη θάλασσα με το φαινόμενο της αλατονεύσης, λόγω της B-BA. κατεύθυνσης των ανέμων.

Εκτός από την κυψέλωση, παρατηρείται απομάκρυνση, σε επιφανειακό επίπεδο, των αργιλοπυρικών φλεβών του πέτρινου υλικού (εικ. 5 και 6). Η απώλεια προκαλείται λόγω της ιονεναλλακτικής εξαλλοιώσης των αργίλων που περιέχονται ως προσμείξεις στην πέτρα, λόγω της δράσης του νερού (στα βάθρα των αναθημάτων φαίνεται χαρακτηριστικά το μεγαλύτερο ποσοτήτα απώλειας υλικού, έως το σημείο που φτάνει η στάθμη του νερού στις πλημμύρες).

Ρωγμές μεταξύ των συγκολλήμενών τμημάτων του ψαμμίτη έχουν προκληθεί εξαιτίας της διαφοράς του συντελεστή θερμικής διαστολής του ψαμμίτη από τα τουμεντοκανάματα, που έχει χρησιμοποιηθεί για τη συγκόλληση (εικ. 7).

Τα ποικιλά φυτά που αναπτύσσονται στο χώρο του μνημείου δημιουργούν υγρασίες σε τμημάτα της Στοάς, κυρίως στον μαρμάρινο στυλόβατη, ή διευρύνουν ρωγμές που ήδη υπήρχαν (εικ. 4).

Παρατηρείται διάβρωση των μεταλλικών συνδέσμων που είχαν χρησιμοποιηθεί κατά την αναστήλωση, με αποτέλεσμα κάποια θραύσματα να έχουν αποκαλυφθεί. Τη διάβρωση του ορείχαλκου και του ανοξείδωτου χάλιμα ευνοεί η αυξημένη σχετική υγρασία, καθώς και η μεγά-



λη συγκέντρωση θεικών ιόντων και χλωριόντων στο περιβάλλον.

Τα προϊόντα διάβρωσης του ορείχαλκου έχουν αλλιώσει χρωματικά την επιφάνεια του μαρμάρου, δημιουργώντας κατά τόπους κηλίδες πρασινού-μπλε χρώματος.

Βιολογική διάβρωση παρατηρείται κυρίως στα ασβεστολιθικά βάθρα των αναθημάτων, στα μαρμάρινα κιονόκρανα και λιγότερο στο φαρμακικό υλικό. Στα τμήματα αυτά υπάρχει στρώμα

βιολογικών επικαθίσεων από συμβιώσεις μικρο-οργανισμών, το οποίο συνιστάται από μεγάλες ομιλιμορφες επιφάνειες και "λεκέδες" κυκλικού σχήματος. Η αναπτυξή των μικροοργανισμών συνοւείται από την υψηλή σχετικά υγρασία και από τις θερμοκρασίες που επικρατούν στην περιοχή.

Ορατή είναι η **καθίζηση** που έχει υποστεί η Στοά ήδη από την αρχαιότητα. Πιέζη από των καθίζησεων είναι η αμμώδης σύσταση του υπέδαφους της περιοχής και η παρουσία μεγάλου ποσοστού αργιλών, που δισγκωνούνται σταν απορροφούν νερό, τους χειμερινούς μήνες, ενώ το καλοκαίρι, όταν στεγνύνουν, μετατρέπονται σε λεπτή σκόνη (φαινόμενο της θεριστροπίας). Οι εναλλαγές αυτές προκαλούν αιχμεώσεις του όγκου των αργιλών, με αποτέλεσμα την αποσάθρωση του εδάφους θεμελίωσης.

Προτεινόμενες επεμβάσεις συντήρησης

Η κατάσταση διατήρησης του μνημείου καθιστά επιπλακτική την ανάγκη συντήρησής του. Προτείνεται ένα γενικό πλαίσιο εργασιών συντήρησης, καθώς δεν έχουν προηγηθεί οι απαραίτητες αναλύσεις που θα μπορούσαν να δώσουν πιο συγκεκριμένες προτάσεις.

Για τη συντήρηση του μνημείου είναι χρήσιμο να γίνει πρωτίστως ποιοτική και ποσοτική ανάλυση του υλικού, ώστε να επιλεγούν οι κατάλληλες μέθοδοι συντήρησης. Οι αναλύσεις που μπορεί να γίνουν είναι: εξέταση στο πολωτικό μικροσκόπιο, εξέταση με τη μέθοδο περίθλασης ακτίνων X (XRD), παρατήρηση με το ηλεκτρονικό μικροσκόπιο σάρωσης (SEM), μελέτη του φθορισμού των ορυκτών μετά από ακτινοβολίση με ακτίνες X, φλοιογραφωμετρία ή ανάλυση με τη μέθοδο της ατομικής απορρόφησης.

Για τη μελέτη της εσωτερικής δομής των

3. Κυψελοειδής διάβρωση.



4. Ανόιξηση των υδάτων του εδάφους μέσω του φαινομένου της τριγείδους αναρρίχησης και ανάπτυξης φυτών στις ρυμιές του μαρμάρου στυλοβάτη.

υλικών και τον εντοπισμό πιθανών ασυνεχειών, ρωγμών και ξένων στοιχείων προτείνονται οι εξής μέθοδοι ανάλυσης: Εξέταση με υπερήχους, ακτινογράφηση, υπέρυθρη θερμογραφία, ενδοσκόπητρο.

Προτείνεται επίσης η μέτρηση του πορώδους της πέτρας και η ταυτοποίηση των βιολογικών επικαθίσεων.

Η στεγανοποίηση του εδάφους και η επίλυση των στατικών προβλημάτων του μημείου προέχει, και απαιτεί συνεργασία ειδικών επιστημόνων ώστε να γίνει αρχικά υδρολογική, γεωτεχνική, εδαφομηχανική μελέτη της περιοχής και στατική μελέτη του μημείου και ακολούθως να πραγματοποιηθεί η απαιτούμενη κατασκευαστική επέμβαση στο έδαφος. Οι επεμβάσεις αυτές μπορούν να συνδυαστούν και με τη συνέχιση των ανασκαφικών εργασιών στο χώρο.

Η στεγανοποίηση του εδάφους δεν θα πρέπει να αλλιώσει το φυσικό τοπίο με το οποίο το μημείο είναι δραπέτης δεμένο.

Προσωρινή λύση για τη μείωση των υδάτων μπορεί να αποτελέσει η ενίσχυση της ήδη υπάρχουσας αντλίας, ο σχολαστικός καθαρισμός του μημείου άντλησης των υδάτων και η διάνοιξη δευτέρου φρεάτου συλλογής υδάτων σε άλλο σημείο του αρχαιολογικού χώρου.

Καθαρισμοί

Κύριοι στόχοι των μεθόδων καθαρισμού της Στοάς είναι η απομάκρυνση των διαλυτών αλατών, των βιολογικών επικαθίσεων, των τοιμεντοκονιάματων και των μεταλλικών συνδεσμών που χρησιμοποιήθηκαν κατά την αναστήλωση και, τέλος, ο καθαρισμός των λεκέδων που δημιουργήθηκαν από την οξείδωση των συνδεσμών.

Οι μεθόδοι καθαρισμού πρέπει:

- Να μην σχηματίζουν προϊόντα καταστρεπτικά για την πέτρα.
- Να αφίνουν την επιφάνεια ανεπηρέαστη.
- Να έχουν ελεγχόμενη εφαρμογή.

Τα τοιμεντοκονιάματα αφαιρούνται με μηχανικό καθαρισμό, με τη βοήθεια εργαλεών γυλιπτικής (σφυρί, καλέμ). Τυχόν υπολείμματα μπορούν να αφαιρεθούν με χρηση πάστας Mora, η οποία συμπλοκούει ιόντα των συστατικών του κονιάματος, σε συνδυασμό με μηχανικές μεθόδους¹⁵.

Για τον καθαρισμό των λεκέδων από τα προϊόντα οξείδωσης των ορειχάλκινων συνδεσμών μπορεί να χρησιμοποιηθεί πάστα που περιέχει αμμωνία¹⁶. Το ίδιο αντιδραστήριο, σε συνεργασία με μηχανικές μεθόδους, μπορεί να χρησιμοποιηθεί για την αφίρεση των ορειχάλκινων συνδεσμών. Κατά άλλο γρότο μπορούν να αφαιρεθούν οι χαλύβδινοι συνδεσμοί, με αραιό διαλύμα θειογλυκολικού οξέως (HSCl_2COOH)¹⁷.

Ο καθαρισμός των βιολογικών επικαθίσεων μπορεί να γίνει με αραιό διάλυμα υπεροξειδίου του υδρογονίου (H_2O_2) που έχει οξειδωτικές ικανότητες και διαλύει την οργανική ωλή¹⁸. Μπορούν επίσης να χρησιμοποιηθούν κατάλληλα βιοτόκοντα που θανατώνουν τους μικροοργανισμούς, με αποτέλεσμα να χαλαρώνουν οι επικαθίσεις και να αφαιρούνται εύκολα με απονιστέ-



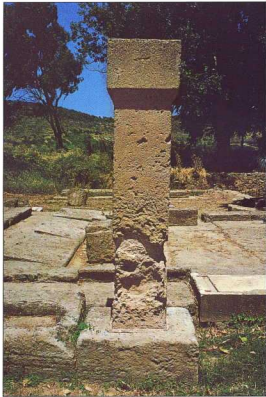
νο νερό και ήπιο βιούτσισμα της επιφάνειας.

Για την αφαίρεση των μεγαλύτερων φυτών προτείνεται η εκρίζωση τους με κατάλληλο ζιζανιοκτόνο. Το ζιζανιοκτόνο πρέπει να μην προκληθεί διάρρωση ή χρωματική αλλοιώση στην πέτρα, αλλά και να έχει ούτο το δυνατόν μικρότερη τοξικότητα.

Για την απομάκρυνση των διαλυτών αλάτων από τους πόρους της πέτρας μπορεί να χρησιμοποιηθεί απονιστέμένο νερό, αφού η επιφάνεια της πέτρας δεν είναι υψηλοποιημένη. Το απονιστέμένο νερό διαλύνει τα άλατα και τα παρασύρει, λόγω του φαινομένου της δύσωσης, έξω από το πετρίνο υλικό. Για τον σκοπό αυτού μπορούν να γίνουν διαδοχικές εφαρμογές ισομεγάθεων κομπρεσών ουδέτερου χαρτού με απονιστέμένο νερό στην επιφάνεια του ψαμμίτη και του ασβεστολίθου¹⁹. Κάθε φορά μπρέτα η αγγιγμότητα του νερού επιτυληστή, που παράγεται από το έξτημα κάθε κομπρέσας, και, όταν η αγγιγμότητα σταθεροποιηθεί σε χαμηλές τιμές, η επέμβαση σταματάει.

Οι κομπρέσεις μπορεί να αντικατασταθούν με προσφροφητική άργυρη (απαντούλγητη, σεπιόλιθο). Ο απαντούλγητης ενδείκνυται για τον ψαμμίτη, καθώς αποτελείται από χαλαζία σε ποσοστό 68% περίπου²⁰.

Οι μεθόδοι αυτές απομακρύνουν τα άλατα από μικρό βάθος του εσωτερικού της πέτρας. Για την απομάκρυνση άλατων από τον όγκο των σπονδύλων προτείνεται μια μέθοδος που εφαρμόζεται σε μικρά σιγάματα συνήθως, κατά την οποία εφαρμόζεται στον σφόνδυλο ένα αφρικτό ελαστικό ένδυμα με μία οπή στο πάνω μέρος και μία κάτω. Με ροή νερού υπό πίεση από πάνω προς τα κάτω ή με εφαρμογή κενού και παροχή νερού από πάνω, παρασύρονται τα διαλυτά άλατα και κινούνται προς την έξοδο. Με τη μέ-



6. Απώλεια υλικού από τα βάθρα των αναθημάτων.

τρηση της αγωγιμότητας του νερού που βγαίνει παρακολουθείται η πορεία της μεθόδου. Πριν από μια τέτοια εφαρμογή πρέπει να γίνονται μετρήσεις της αντοχής της πέτρας, καθώς υπάρχει κίνδυνος απώλειας υλικού εξαιτίας της πίεσης από την εφαρμογή του ελαστικού ενδύματος και της πίεσης του νερού.

Στερέωση των δομικών υλικών²¹

Η αποσάθρωση των δομικών λίθων έχει ως αποτέλεσμα τη μείωση των μηχανικών αντοχών και της συνοχής τους, έτσι ώστε να κρίνεται απαραίτητη η στερέωσή τους. Το στερεωτικό υλικό πρέπει να είναι αντιστρέψιμο και να έχει παρόμια σύσταση με αυτήν του πετρώματος.

Λόγω της μεγάλης περιεκτικότητας του ψαμμίτη σε χαλαζία (SiO_2), προτείνεται με βάση το πυρίτιο²². Συνήθως χρησιμοποιούνται πυριτικά άλατα, τα οποία υδρολύσονται και σχηματίζουν ορθοπυριτικό οξύ (H_2SiO_4). Το οξύ καθιذάνει στους πόρους της πέτρας και χάνονται βαθμαία νερό σχηματίζει το επιθυμητό διοξειδίο του πυρίτιο²³. Ένα οργανικό υλικό με βάση το πυρίτιο, μη πολυμερές και με μεγάλη διεισδυτική ικανότητα, που χρησιμοποιείται κυρίως σε ψαμμίτες, είναι ο αιθυλοπυριτικός εστέρας. Κατά την εφαρμογή πρέπει να απομακρύνεται η περίστεια του στερεωτικού από την επιφάνεια της πέτρας, ώστε να μην δημιουργούνται λεκέδες. Σε μελέτες που έγιναν διαπιστώθηκε ότι ο χρόνος ζωής του στερεωτικού είναι περίπου δέκα χρονια, διάστημα μετά το οποίο η μεθόδος μπορεί να επανεφαρμοστεί²⁴. Οι ιδανικότερες συνθήκες εφαρμογής του στερεωτικού είναι RH 47-55% και θερμοκρασία 22-30° C. Ανάλογης συνθήκες επικρατούν στη Βραυρώνα τον

μήνα Ιούνιο, όπως προκύπτει και από τους σχετικούς πίνακες.

Για τη στερέωση των ασβεστολιθικών τμημάτων προτείνονται ανόργανα υλικά που επιδρούν στο ανθρακικό ασβέστιο της πέτρας²⁵. Καλά αποτελέσματα δίνει το υδροξειδίο του ασβεστίου, το οποίο κατά την εφαρμογή του παράγει ανθρακικό ασβέστιο αντιδρώντας με το CO_2 της ατμόσφαιρας. Το παραγόμενο ανθρακικό ασβέστιο καθιذάνει στην επιφάνεια και τους πόρους της πέτρας, αυξάνοντας έτσι την αντοχή της. Το υδροξειδίο του ασβεστίου χρησιμοποιείται με τη μορφή ασβεστονέρου ή γαλακτός του μετά από ανατάραξη.

Υδροφοριβίωση²⁶

Για την προστασία από το νερό και την υγρασία πρέπει να γίνει υδροφοριβώση. Το υλικό που θα χρησιμοποιηθεί πρέπει να είναι συμβατό με το υλικό της στερέωσης και με την πέτρα, να μην αντιδρά με αυτά και να μην δημιουργεί αλλοίωση στην υφή και την εμφάνιση της πέτρας. Μία κατηγορία υλικών που χρησιμοποιούνται για υδροφοριβώση και έχουν βάση το πυρίτιο είναι τα αλκυλο-αλκενο-υδάνια. Οι ιδινήκες συνθήκες για την εφαρμογή τους είναι ανάλογες με αυτές του αιθυλοπυριτικού εστέρα. Προτείνεται να εφαρμοστεί πρώτο ο εστέρας στερεωτούντας την πέτρα και στη συνέχεια το αιλάνιο, το οποίο θα δράσει περισσότερο επιφανειακά, προσδίδοντας υδρόφοβες ιδιότητες στο πέτρινο υλικό. Το αιλάνιο που θα χρησιμοποιηθεί πρέπει να έχει μικρό μοριακό βάρος για να μην κλίνειν τελείων τους πόρους της πέτρας, ώστε να επιτρέπει τη διαφυγή της εγκλωβισμένης υγρασίας, αλλά και να αποτρέπει τη διαρροή του νερού από και προς το εσωτερικό της πέτρας.

7. Ρωγμή μεταξύ των συγκολλημένων τμημάτων του φαρμαγάμου.

Συγκολλήσεις-πλήρωση κενών και ρωγμών

Για τη συγκολλήση πέτρινων τημάτων χρησιμοποιούνται σήμερα διάφορα συγκολλητικά υλικά ή κονιάματα. Τα κονιάματα είναι πιο σταθερά από τις συνθετικές ρητίνες σε συνθήκες εξωτερικού περιβάλλοντος και, για τον λόγο αυτό, προτιμώνται τόσο σε συγκολλήσεις όσο και σε πλήρωσεις ρωγμών και κενών.

Το λευκό τοιμέντο Portland έχει χαμηλή περιεκτικότητα σε θεικά άλατα, διαθέτει καλές μηχανικές αντοχές, καλή σύμψυση με την επιφάνεια της πέτρας, καταλλήλως θερμικό συντελεστή, πορώδες και κοκκομετρία, και προτείνεται να χρησιμοποιηθεί για τις συγκολλήσεις τόσο στο μάρμαρο όσο και στον ψαμμίτη.

Η συγκολλήση ενισχύεται με την τοποθέτηση μεταλλικών συνδέσμων από τιτάνιο, όπου διατίθεται δίπλα στα θραύσματα λόγω της μεγέθους ή της θέσης τους δέν μπορούν να κρατηθούν μόνο με ταυμέντο. Η συγκολλήση με χρήση μεταλλικών συνδέσμων είναι μια επώδυνη και καταστρεπτική μεθόδος για το μνημείο, καθώς πρέπει να αναντούνται όπες σε αυτό, γι' αυτό και πρέπει να εφαρμόζεται μόνο όπου κρίνεται απολύτως απαραίτητο.

Η μεθόδος στέρεωσής που έχει προταθεί για το μνημείο μπορεί να κλείσει λεπτές ρωγμές μεγέθους 0,1-0,2 χλ. Μεγαλύτερες ρωγμές και κενά πρέπει να κλείσουν επίσης γιατί αποτελούν εστίες συγκέντρωσης διαλυτών αλάτων και μικροφυρανισμών. Η πλήρωση προτείνεται να γίνει με κονίαμα. Τα κονιάμα εχει ως συγκολλητήριη ύλη το λευκό τοιμέντο Portland και η σύσταση του αδρανούς πρέπει να είναι παρόμοια με αυτήν του πέτρουν υλικού. Για τον ψαμμίτη προτείνεται να χρησιμοποιηθεί χαλαζική άμμος μικρής κοκκομετρίας και για το μάρμαρο και τον ασβετόλιθο πεπτάλη του ίδιου υλικού.

Κομμάτια που λείπουν πρέπει να συμπληρωθούν μόνο όπου επιβάλλεται για στατικούς λόγους με το ίδιο υλικό (ψαμμίτη, μάρμαρο), όπως έγινε και κατά την αναστήλωση.

Επίδραση του αεροδρομίου των Σπάτων στο μνημείο

Η εγκατάσταση του αεροδρομίου στην περιοχή των Σπάτων, σε απόσταση 7 χλμ. από το ιερό, θα προκαλέσει μεταβολή των περιβαλλοντικών συνθηκών της ευρύτερης περιοχής, με βασικότερη την αύξηση της ατμοσφαιρικής ρύπανσης και της ηχορρύπανσης. Σύμφωνα με τη Μελέτη Περιβαλλοντικών Επιπτώσεων²⁷ θα αυξηθεί το ποσοστό των αιωρωμένων σωματιδίων, του διοξειδίου του θείου SO₂, των οξειδίων του αιώντος NO_x και του μονοξειδίου του άνθρακα CO στην ατμόσφαιρα.

Είναι σχεδόν βέβαιο ότι λόγω της μικρής απόστασης του αεροδρομίου από το ιερό της Βραυρώνας Αρτέμιδος θα σημειωθεί μεταφορά των αιερίων μύτων από το αεροδρόμιο στην περιοχή της Βραυρώνας. Οι ρύποι αυτοί μπορεί να προκαλέσουν νέες φθορές, όπως ψυφοποίηση και ζάχαροποίηση του μαρμάρου κ.α.

Αρνητική επίδραση στην κατάσταση διατήρησης του μνημείου έχει και ο θόρυβος, μέσω

των κραδασμών που δημιουργεί. Ανάλογα με τις συχνότητες των ήχων που επικρατούν στην περιοχή μπορεί να προκληθούν ρηγματώσεις και θραύσεις στο υλικό του μνημείου.

Επομένως, η λειτουργία του αεροδρομίου στην περιοχή κάνει επιτακτική την ανάγκη συντήρησης του μνημείου, πριν επεκταθούν οι ωφέλεις του και εμφανιστούν και νέες μορφές διάβρωσης.

Καθιστά επίσης απαραίτητη την περαιτέρω μελέτη και την καταγραφή των επιπτώσεων της λειτουργίας του αεροδρομίου στην περιοχή του μνημείου και στο δομικό του υλικού.

Σημειώσεις

1. Θεοφίλης, Π., Γ., Βραυρών, Οιρήγης του χώρου και του Μουσείου, σ. 2. Παπαδημητρίου, Κ. Ι., ΛΑΕ 1947-1948, σ. 81. Ευστράτιο, Αρχαιολογία, τεύχος 39, 1991, σ. 74.
2. Θεοφίλης, ο.π. σ. 9-13. Παπαδημητρίου, Κ. Ι., Μεγάλη Ελληνική Εγκυλοπαίδεια, Βραυρών, συμπλ. τόμ. Β., σ. 146.
3. Κοντής, Ι., ΔΔ, 22, 1967, σ. 162.
4. Παπατζήνη, Παυλανίου Ελλήνων Περιήγησις, Αποτικά, Εκδοτική Αθηνών, 1974, σ. 429.
5. Μιτρώπης, Γ., Θουκυδίδου Ενηγράφη II, 1902-1907, σ. 33-45.
6. Ορλάνδης, Α., Έργον, 1958, σ. 37. Μπουράς, Χ., Η αναστήλωση της Στοάς της Βραυρώνας, 1967, σ. 149-159. Κοντής, Ι., ο.π. 3, σ. 175.
7. Θεοφίλης, Π.Γ., ο.π. 1, σ. 19-20. Κοντής, Ι., ο.π. 8, σ. 171-174.
8. Μπουράς, Χ., ο.π. 6, σ. 19-24.
9. Λαζαρόπουλος, Ν. Β., Διάρρωση και συντήρηση της πέτρας, 1993, σ. 9.
10. Μπουράς, Χ., ο.π. 6, σ. 40.
11. Μπουράς, Χ., ο.π. σ. 172.
12. Δούνια, Α., και Μαϊσάρη, Κ., Εκβεσίας επί των υδρογεωλαγικών συντηρήσεων της περιοχής Επαντί-Λουτσάς Αττικής, ΙΓΜΕ 1967, σ. 3. Κοντής, Δ. Γ., Εκβεσίας επί των υδρογεωλαγικών συντηρήσεων και δινοτητών υδρευσεών των νέου αερολιμένου Αθηνών στα Σπάτα, ΙΓΜΕ 1979, σ. 5.
13. Κοντής, Δ. Γ., Εκβεσία επί της συμπεριφοράς των υδροφορέων και της περιοχής επιπρόσθιας των φρέστων Δαρείδη-Νικολάκη εις Μαρκόπουλον Αττικής, ΙΓΜΕ 1977, σ. 2.
14. Χελιδόνη, Κ., Κυκλοφορία των αέριων μαζών και ρύπων, 1993, σ. 1-8.
15. Λαζαρόπουλος, Ν. Β., ο.π. σ. 60-61. Ashurst, N., Cleaning Historic Buildings, Alden Press, 1994.
16. Λαζαρόπουλος, ο.π. σ. 66.
17. Λαζαρόπουλος, ο.π. σ. 65.
18. Λαζαρόπουλος, ο.π. σ. 68.
19. Λαζαρόπουλος, ο.π. σ. 69.
20. Amoroso, G. και Fassina, V., Stone decay and conservation, ed. Elsevier 1983, σ. 282-286.
21. Λαζαρόπουλος, Ν. Β., ο.π. σ. 70-90.
22. Σκουλιδήνη, Θ. Δ., Διάρρωση και Συντήρηση των Δακτυλίων Της Μητρώας, Πανεπιστημιακές Εκδόσεις Κρήτης, 2000, σ. 212.
23. Λαζαρόπουλος, ο.π. σ. 78-79.
24. Saleh A. S., Helmi M. F., El-Sherif M. M., El-Banha A., Studies in Conservation, v. 37, 1992, p. 93-105.
25. Συντήρηση των ιερών, σ. 210-215.
26. Λαζαρόπουλος, ο.π. σ. 79-80.
27. Παρασκευόπουλος Γ., Κώντας Α., Μελέτη περιβαλλοντικών επιπτώσεων από την κατασκευή και λειτουργία του αεροδρομίου των Σπάτων, 1993.

The Stoa of Artemis in Vravrona, Attica: Erosion Types and Protection Proposals

V. Lambropoulos – Maria Katou – A. Sapountzakis

The sanctuary of Artemis in Vravrona, on the eastern coast of Attica, is counted among the most important religious complexes of antiquity.

This study comprises a short presentation of the stoa of the sanctuary and its restoration. The deep landslide has seriously damaged all the buildings of the sanctuary. Therefore, the decay of the building materials has been studied, according to macroscopic observations, and its basic agents have been estimated, on the basis of an environmental study. Given the aforementioned data, a proposal for the protection of the monument has been composed.